УДК 517.958:532

АЛГОРИТМЫ РАСПАРАЛЛЕЛИВАНИЯ НА СГУЩАЮЩИХСЯ СЕТКАХ В ЗАДАЧАХ ТРЕХФАЗНОЙ ФИЛЬТРАЦИИ ЖИДКОСТИ

Д. А. Губайдуллин 1 , А. И. Никифоров 1 , А. В. Цепаев 1

Численный алгоритм с распараллеливанием, предложенный ранее авторами для двухфазной фильтрации, применен для решения трехмерной задачи трехфазной фильтрации жидкости на сетках со сгущающимися участками. Показана его эффективность, возрастающая с увеличением числа сгущающихся участков сетки. В основу численной аппроксимации задачи положен метод контрольных объемов. Работа выполнена в рамках программы фундаментальных исследований № 14 Президиума РАН "Фундаментальные проблемы информатики и информационных технологий".

Ключевые слова: фильтрация жидкостей, параллельные вычисления, сгущающиеся сетки, метод контрольных объемов, численные алгоритмы.

1. Введение. Основная трудность численного решения практических задач разработки нефтяных и газовых месторождений заключается в решении систем уравнений большой размерности вследствие трехмерности объекта и необходимости сгущения сетки в прискважинных зонах. Обычно диаметр скважины на 5-6 порядков, а толщина пласта на 2-3 порядка меньше характерных размеров пласта в горизонтальной плоскости. В связи с этим встает вопрос создания алгоритмов, пригодных для распараллеливания вычислений [2]. Одним из развивающихся направлений в создании таких алгоритмов являются методы разделения области [3-8].

Как и в [1], при решении задач трехфазной фильтрации на каждом временном шаге распараллеливается процесс решения систем сеточных уравнений по давлению и по насыщенностям.

Распараллеливание системы сеточных уравнений для давления основано на независимом решении уравнений для сгущающихся участков и на новом типе согласования этих решений с решением на грубой сетке. Согласование достигается за счет введения дополнительных грубых сеток на сгущающихся участках [9-13].

В основе распараллеливания системы сеточных уравнений для насыщенностей лежит сочетание элементов явной и неявной схем. На каждом временном шаге сеточные уравнения по насыщенностям для сгущающихся участков решаются независимо по неявной схеме. Согласование полученных решений с решением на грубой сетке достигается за счет сочетания элементов явной и неявной схем в определении насыщенностей крупных ячеек, окружающих сгущающиеся участки, без использования процедуры "предиктор-корректор".

Детальное описание алгоритма приведено в работе [1] для случая двухфазной фильтрации.

Алгоритмы тестировались при решении модельных задач трехфазной фильтрации несжимаемой жидкости с различным числом скважин со сгущающимися сетками в прискважинных зонах. Системы уравнений на грубой сетке решались на одном процессоре. Системы уравнений на сгущающихся участках решались параллельно с использованием библиотеки MPI на многопроцессорной вычислительной системе МКВС-Е112.

2. Постановка задачи трехфазной фильтрации. Рассматривается трехфазная изотермическая фильтрация нефти, воды и газа, подчиняющаяся линейному закону Дарси. Считается, что пласт, нефть и вода несжимаемы и отсутствует массообмен между нефтяной и газовой фазой. Гравитационные силы

 $^{^1}$ Институт механики и машиностроения Каз
НЦ РАН, ул. Лобачевского, $2/31,\,420111,\,$ Kasaнь; e-mail: gubajdullin@mail.knc.ru, mazurov@mail.knc.ru

[©] Научно-исследовательский вычислительный центр МГУ им. М. В. Ломоносова

не учитываются. Тогда справедлива следующая система уравнений:

$$\operatorname{div}\left(q_{\mathbf{w}}\right) + m \, \frac{\partial S_{\mathbf{w}}}{\partial t} = 0,\tag{1}$$

$$\operatorname{div}(q_{o}) + m \frac{\partial S_{o}}{\partial t} = 0, \tag{2}$$

$$\operatorname{div}\left(p_{\mathbf{g}}q_{\mathbf{g}}\right) + m\,\frac{\partial p_{\mathbf{g}}S_{\mathbf{g}}}{\partial t} = 0,\tag{3}$$

$$q_{\alpha} = -\frac{f_{\alpha}k}{\mu_{\alpha}} \operatorname{grad}(p) \quad (\alpha = 0, w, g).$$
 (4)

Здесь p=p(x,y,z) — давление, индексы "o", "w", "g" соответствуют нефти, воде и газу, q_{α} — вектор скорости фильтрации фазы α , S_{α} — насыщенность пласта фазой α , $S_{\rm o}+S_{\rm w}+S_{\rm g}=1$, f_{α} — относительные фазовые проницаемости, k — абсолютная проницаемость, μ_{α} — динамическая вязкость фазы, $\rho_{\rm g}=\frac{\rho^*}{B_{\rm g}}$ — плотность газа в пластовых условиях, $\rho_{\rm g}^*$ — плотность газа при нормальных условиях, $B_{\rm g}$ — объемный коэффициент, m — пористость.

Исходную систему уравнений можно привести к виду

$$\frac{mS_{\rm g}(\rho_{\rm g})_p'}{\rho_{\rm g}} \frac{\partial p}{\partial t} - \operatorname{div}\left((K_{\rm o} + K_{\rm w} + K_{\rm g}) \operatorname{grad} p \right) = 0, \tag{5}$$

$$\operatorname{div}\left(q_{\mathbf{w}}\right) + m \frac{\partial S_{\mathbf{w}}}{\partial t} = 0,\tag{6}$$

$$\operatorname{div}\left(q_{o}\right) + m \frac{\partial S_{o}}{\partial t} = 0,\tag{7}$$

где $K_{\rm o}=\frac{kf_{\rm o}}{\mu_{\rm o}}$, $K_{\rm w}=\frac{kf_{\rm w}}{\mu_{\rm w}}$, $K_{\rm g}=\frac{kf_{\rm g}}{\mu_{\rm g}}$ — фазовые подвижности. Область решения представляется многосвязной областью, внутренние поверхности которой определены поверхностями скважин в интервалах вскрытия пласта. В начальный момент времени считаются известными распределения давления и насыщенностей в пласте. На внешней поверхности пласта задаются граничные условия 1-го или 2-го рода. Обычно это начальное пластовое давление, условие непротекания и насыщенности пласта фазами на участках внешней поверхности, через которые поступают флюиды. На скважинах задается либо забойное давление, либо суммарный расход жидкости при некотором фиксированном давлении, определяемом в процессе решения задачи.

3. Алгоритм решения задачи. Задача решается в области D, представляющей собой пласт, ограниченный кровлей, подошвой, боковыми поверхностями и поверхностями интервалов вскрытия скважин V_k , $k=1,\ldots,N$. Объединение $\bigcup\limits_{k=1}^{N}V_k$ является дополнением многосвязной области D до односвязной области. Система уравнений трехфазной фильтрации без учета капиллярных и гравитационных сил записывается в виде (5)-(7) при граничных условиях

$$p = p_{\Gamma} \quad \text{on} \quad \Gamma_1,$$
 (8)

$$-(K_{\rm o} + K_{\rm w} + K_{\rm g}) \frac{\partial p}{\partial n} = q_n \quad \text{on} \quad \Gamma_2, \tag{9}$$

$$p\big|_{\partial V_k} = P_k, \quad k = 1, \dots, N, \tag{10}$$

$$S_{\mathbf{w}} = S_{\mathbf{w}_{\Gamma}} \quad \text{on} \quad \Gamma_3, \quad S_{\mathbf{w}} = S_{\mathbf{w}_k}, \quad k = 1, \dots, M,$$
 (11)

и при начальных условиях

$$p = P^{0}, \quad S_{w} = S_{w}^{0}, \quad S_{o} = S_{o}^{0} \quad B \quad D,$$
 (12)

где $\Gamma_1+\Gamma_2=\Gamma$ — внешняя граничная поверхность области $D,\ \Gamma_3$ — часть поверхности $\Gamma,\$ через которую жидкость поступает в пласт, ∂V_k — поверхность интервала вскрытия пласта k-й скважиной, P_k — заданное давление на k-й скважине, N — число скважин, M — число нагнетающих скважин (M< N), $S_{\mathbf{w}_k}$ — заданная насыщенность в нагнетательной скважине. Пласт покрыт сеткой $\Omega,\$ ячейки которой в прискважинных зонах D_k уменьшаются в размерах к интервалам вскрытия скважин по убывающей геометрической прогрессии. Решение задачи (5)-(12) по определению полей давления p и насыщенностей $S_{\mathbf{w}}$ и $S_{\mathbf{o}}$ на (n+1)-ом временном шаге включает в себя следующие этапы.

Этап 1. Вычисляются давления p_i^{n+1} из системы (5), (8)–(10) со значениями $K_{oi}^n,~K_{wi}^n,~K_{gi}^n.$ Для решения задачи (5), (8) – (10) предлагается следующий алгоритм распараллеливания. Вводятся дополнительные грубые сетки ω_k , покрывающие области $D_k \cup V_k$ и имеющие размер ячеек, эквивалентный размеру ячеек Ω в D_0 . Решение p в области D_0 представляется как p_1 с граничными условиями $p_1 = p_{1\gamma k}$ на границах раздела γ_k области D_0 и прискважинных подобластей D_k , а вне области D_0 — как сумма двух решений p_{2k} и p_{3k} . Решения p_{2k} определяются на сетке Ω в областях D_k , а решения p_{3k} — на сетках ω_k в областях $D_k \cup V_k$, при этом $p_{1\gamma k} = p_{2\gamma k} + p_{3\gamma k}$ на границах γ_k .

Постановка задачи для определения p_1 на сетке Ω :

$$\frac{mS_{g}(\rho_{g})'_{p}}{\rho_{g}} \frac{\partial p_{1}}{\partial t} - \operatorname{div}(K_{w} + K_{o} + K_{g}) \operatorname{grad} p_{1} = 0 \quad \text{B} \quad D_{0},$$

$$p_{1} = p_{\Gamma} \quad \text{Ha} \quad \Gamma_{1} \cap D_{0}, \quad -(K_{w} + K_{o} + K_{g}) \frac{\partial p_{1}}{\partial n} = q_{n} \quad \text{Ha} \quad \Gamma_{2} \cap D_{0},$$

$$p_{1} = p_{1\gamma k} \quad \text{Ha} \quad \gamma_{k}, \quad k = 1, \dots, N.$$
(13)

Постановка задачи для определения p_{2k} $(k=1,\ldots,N)$ на сетке Ω :

$$\frac{mS_{g}(\rho_{g})'_{p}}{\rho_{g}} \frac{\partial p_{2k}}{\partial t} - \operatorname{div}\left(K_{w} + K_{o} + K_{g}\right) \operatorname{grad} p_{2k} = 0 \quad \text{B} \quad D_{k},$$

$$p_{2k} = p_{\Gamma} \quad \text{on} \quad \Gamma_{1} \cap D_{k}, \quad -(K_{w} + K_{o} + K_{g}) \frac{\partial p_{2k}}{\partial n} = q_{n} \quad \text{Ha} \quad \Gamma_{2} \cap D_{k},$$

$$p_{2k}|_{\partial V_{k}} = P_{k}, \quad p_{2k} = p_{2\gamma k} \quad \text{Ha} \quad \gamma_{k}.$$
(14)

Постановка задачи для определения p_{3k} $(k=1,\ldots,N)$ на сетке ω_k :

$$\frac{mS_{g}(\rho_{g})'_{p}}{\rho_{g}} \frac{\partial p_{3k}}{\partial t} - \operatorname{div}\left(K_{w} + K_{o} + K_{g}\right) \operatorname{grad} p_{3k} = 0 \quad \text{in} \quad D_{k} \cup V_{k},$$

$$p_{3k} = 0 \quad \text{on} \quad \Gamma_{1} \cap \left(D_{k} \cup V_{k}\right), \quad \left(K_{w} + K_{o} + K_{g}\right) \frac{\partial p_{3k}}{\partial n} = 0 \quad \text{ha} \quad \Gamma_{2} \cap \left(D_{k} \cup V_{k}\right),$$

$$p_{3k} = p_{3\gamma k} \quad \text{ha} \quad \gamma_{k}.$$
(15)

Решения p_1, p_{2k} и p_{3k} при известных граничных значениях $p_{\Gamma_{1k}}, p_{\Gamma_{2k}}, p_{\Gamma_{3k}}$ независимо определяются из систем уравнений (13), (14) и (15) соответственно. При выполнении условий на границах раздела γ_k относительно давлений $p_{\Gamma_{1k}}=p_{\Gamma_{2k}}+p_{\Gamma_{3k}}$ и относительно нормальных составляющих скоростей фильтрации $q_{1kn}+q_{2kn}+q_{3kn}=0$ для определения решений $p_1,\,p_{2k},\,p_{3k}$ достаточно задания начальных условий и граничных значений $p_{\Gamma_{3k}}$. При значениях $p_{\Gamma_{3k}}=0$ система уравнений (13)-(15) эквивалентна исходной системе уравнений (5), (8) – (10). Таким образом, для получения решения исходной системы уравнений необходимо построить алгоритм решения системы (13) – (15), в котором $p_{3k} \to 0$. На каждой итерации с номером $i \geqslant 1$ независимо определяются p_{2k}^i из решения задач (14) с граничными значениями на γ_k :

$$p_{2\gamma k}^{i} = p_{2\gamma k}^{i-1} + p_{3\gamma k}^{i-1}, \tag{16}$$

где $p_{2\gamma k}^0,\; p_{3\gamma k}^0$ берутся с предыдущего временно́го шага. Для определения p_1^i и p_{3k}^i совместно решаются системы уравнений (13), (15) на грубой сетке с дополнительными условиями $p_{\Gamma_{1k}}^i-p_{\Gamma_{3k}}^i=p_{\Gamma_{2k}}^i$ и $q_{1kn}^i + q_{3kn}^i = -q_{2kn}^i$ на γ_k при фиксированных узловых значениях решений p_{2k}^i . В вычислительном процессе, построенном таким образом, граничные значения $p_{3\gamma k}^i$ сносятся после каждой итерации по правилу (16) на граничные значения $p_{2\gamma k}^i$. В результате p_{3k}^i с ростом i стремятся к нулю, и i-е приближение давления определяется решением p_1^i в области D_0 и решениями p_{2k}^i в подобластях D_k . Процесс решения прерывается при выполнении условия $d(p_{\Omega}^i)<arepsilon$, где $d(p_{\Omega}^i)$ — максимальная по модулю невязка сеточной системы уравнений (5), (8) – (10). Каждая из задач (14) для получения решений p_{2k}^i прерывается на n-й итерации при

выполнении одного из критериев $\max_{j \in \gamma_k} \frac{\left|d_j\left(p^{in}_\Omega\right) - d_j\left(p^{i,n-1}_\Omega\right)\right|}{d_j\left(p^{i,n-1}_\Omega\right)} < \alpha$ или $\max_{j \in \gamma_k} \left|d_j\left(p^{in}_\Omega\right)\right| < \varepsilon$. Задача (13), (15)

для получения решений p_1^i, p_{3k}^i прерывается на n-й итерации по критерию $\max_{j \in \forall \gamma_k} \frac{\left|d_j(p_\Omega^{in}) - d_j(p_\Omega^{i,n-1})\right|}{d_i(p_\Omega^{i,n-1})} < \alpha$

или $\max_{j\in\forall\gamma_{L}}\left|d_{j}\left(p_{\Omega}^{in}\right)\right|<arepsilon$, где $d_{j}\left(p_{\Omega}^{in}\right)$ — модуль невязки, соответствующей j-му узлу γ_{k} сеточной системы

уравнений (5), (8)—(11), α — итерационный параметр, n — номер внутренних итераций, p_{Ω}^{in} — значения функции p^{in} в узлах сетки Ω . При решении задач (14) имеем $p^{in}=p_1^{i-1}$ в $D_0\setminus\gamma_k$ и $p^{in}=p_{2k}^{in}$ в D_k , а при решении задачи (13), (15) имеем $p^{in}=p_1^{in}$ в D_0 и $p^{in}=p_{2k}^{i}$ в $D_k\setminus\gamma_k$. Условие $d_j(p_{\Omega}^i)<\varepsilon$ проверяется, когда $\max_{j\in\forall\gamma_k}d_j(p_{\Omega}^i)<\varepsilon$.

Этап 2. Вычисляются полные расходы, выходящие из ячеек грубой сетки в единицу времени:

$$Q_{ji}^{n+1} = \frac{p_j^{n+1} - p_i^{n+1}}{R_{ij}^n}, (17)$$

где $R_{ij}^n = \frac{L_{ij}}{D_{ij}} (K_{wi}^n + K_{oi}^n + K_{gi}^n) + \frac{L_{ji}}{D_{ij}} (K_{wj}^n + K_{oj}^n + K_{gj}^n), D_{ij}$ — площадь общей граничной поверхности i-й и j-й ячеек, L_{ij} — расстояние от узлового значения i-й ячейки до общей граничной поверхности, p_i^{n+1} — давление в i-й ячейке.

Этап 3. Для полных расходов, выходящих из ячеек грубой сетки, вычисляются фазовые расходы по явной схеме для воды и нефти соответственно:

$$Q_{\mathrm{w},ji}^{n+1,\mathrm{cell}} = \left(\frac{K_{\mathrm{w}}^n}{K_{\mathrm{w}}^n + K_{\mathrm{o}}^n + K_{\mathrm{g}}^n}\right)_{ji}^{up} Q_{ji}^{n+1}, \quad Q_{\mathrm{o},ji}^{n+1,\mathrm{cell}} = \left(\frac{K_{\mathrm{o}}^n}{K_{\mathrm{w}}^n + K_{\mathrm{o}}^n + K_{\mathrm{g}}^n}\right)_{ji}^{up} Q_{ji}^{n+1}, \quad \mathrm{где}$$

$$\left(\frac{K_{\mathrm{w}}^n}{K_{\mathrm{w}}^n + K_{\mathrm{o}}^n + K_{\mathrm{g}}^n}\right)_{ji}^{up} = \begin{cases} \frac{K_{\mathrm{w}i}^n}{K_{\mathrm{w}i}^n + K_{\mathrm{o}i}^n + K_{\mathrm{g}i}^n}, & p_i \geqslant p_j, \\ \frac{K_{\mathrm{w}j}^n}{K_{\mathrm{w}j}^n + K_{\mathrm{o}i}^n + K_{\mathrm{g}i}^n}, & p_i < p_j, \\ \frac{K_{\mathrm{w}j}^n}{K_{\mathrm{w}j}^n + K_{\mathrm{o}j}^n + K_{\mathrm{g}j}^n}, & p_i < p_j, \end{cases}$$

Этап 4. Для каждой прискважинной зоны независимо вычисляются насыщенности по неявной схеме из системы уравнений

$$m_i V_i \frac{S_{wi}^{n+1} - S_{wi}^n}{\Delta t} = \sum_j Q_{w,ji}^{n+1}, \tag{18}$$

$$m_i V_i \frac{S_{\text{o}i}^{n+1} - S_{\text{o}i}^n}{\Delta t} = \sum_i Q_{\text{o},ji}^{n+1},$$
 (19)

где сумма берется по j-ым ячейкам, окружающим i-ю ячейку, $Q_{\mathrm{w},ji}^{n+1}=Q_{\mathrm{w},ji}^{n+1,\mathrm{cell}},\ Q_{\mathrm{o},ji}^{n+1}=Q_{\mathrm{o},ji}^{n+1,\mathrm{cell}}$ для j-х ячеек грубой сетки, из которых расход поступает в прискважинную зону, а

$$\begin{split} Q_{\mathbf{w},ji}^{n+1} &= Q_{\mathbf{w},ji}^{n+1,\text{notcell}} = \left(\frac{K_{\mathbf{w}}^{n+1}}{K_{\mathbf{w}}^{n+1} + K_{\mathbf{o}}^{n+1} + K_{\mathbf{g}}^{n+1}}\right)_{ji}^{up} Q_{ji}^{n+1}, \\ Q_{\mathbf{o},ji}^{n+1} &= Q_{\mathbf{o},ji}^{n+1,\text{notcell}} = \left(\frac{K_{\mathbf{o}}^{n+1}}{K_{\mathbf{w}}^{n+1} + K_{\mathbf{o}}^{n+1} + K_{\mathbf{g}}^{n+1}}\right)_{ji}^{up} Q_{ji}^{n+1} \end{split}$$

в остальных случаях. Фазовые расходы $Q_{\mathbf{w},ji}^{n+1,\mathrm{cell}}$, $Q_{\mathbf{o},ji}^{n+1,\mathrm{cell}}$ являются граничными условиями при решении систем (18), (19).

Этап 5. Вычисляются насыщенности для ячеек грубой сетки:

$$S_{\text{w}i}^{n+1} = S_{\text{w}i}^{n} + \frac{\Delta t}{m_i} V_i \sum_{i} Q_{\text{w},ji}^{n+1}, \quad S_{\text{o}i}^{n+1} = S_{\text{o}i}^{n} + \frac{\Delta t}{m_i} V_i \sum_{i} Q_{\text{o},ji}^{n+1}.$$

Здесь $Q_{\mathrm{w},ji}^{n+1} = Q_{\mathrm{w},ji}^{n+1,\mathrm{notcell}}$, $Q_{\mathrm{o},ji}^{n+1} = Q_{\mathrm{o},ji}^{n+1,\mathrm{notcell}}$ берутся из решения системы уравнений (18), (19) для j-ых ячеек прискважинных зон, из которых расход поступает в ячейки грубой сетки, а в остальных случаях полагается $Q_{\mathrm{w},ji}^{n+1} = Q_{\mathrm{w},ji}^{n+1,\mathrm{cell}}$, $Q_{\mathrm{o},ji}^{n+1} = Q_{\mathrm{o},ji}^{n+1,\mathrm{cell}}$.

4. Результаты численных экспериментов. Предложенные алгоритмы тестировались при решении модельной задачи трехфазной фильтрации жидкости с различным числом вертикальных добывающих скважин. Брался десятислойный пласт ($10000~\mathrm{m}\times10000~\mathrm{m}\times18~\mathrm{m}$) с толщинами слоев $d_1=1~\mathrm{m}$, $d_2=1~\mathrm{m}$, $d_3=3~\mathrm{m}$, $d_4=1~\mathrm{m}$, $d_5=1~\mathrm{m}$, $d_6=1~\mathrm{m}$, $d_7=2~\mathrm{m}$, $d_8=1~\mathrm{m}$, $d_9=2~\mathrm{m}$, $d_{10}=5~\mathrm{m}$ и с абсолютными проницаемостями $d_1=10^{-3}~\mathrm{дарсu}$, $d_2=10^{-2}~\mathrm{дарcu}$, $d_3=25\times10^{-3}~\mathrm{дарcu}$, $d_4=10^{-2}~\mathrm{дарcu}$, $d_5=10^{-3}~\mathrm{дарcu}$, $d_8=10^{-2}~\mathrm{дарcu}$, $d_8=10^{-2}~\mathrm{даpcu}$, $d_8=10^{-2}~\mathrm{даpcu}$, $d_8=10^{-2}~\mathrm{даpcu}$, $d_8=10^{-2}~\mathrm{дapcu}$, $d_8=10^{-2}~\mathrm{qapcu}$

соответственно. Кровля пласта считалась непроницаемой, на боковых поверхностях и подошве пласта давление $P_{\Gamma}=125$ атм, на скважинах $P_k=30$ атм, на боковой поверхности насыщенность $S_{\rm w}=0$, $S_{\rm o}=1$, на подошве $S_{\rm w}=1$, $S_{\rm o}=0$. Начальная насыщенность $S_{\rm w}=0$, $S_{\rm o}=0.5$. Динамическая вязкость воды $\mu_{\rm w}=10^{-3}$ Па·с, динамическая вязкость нефти $\mu_{\rm o}=15\times10^{-3}$ Па·с, динамическая вязкость газа $\mu_{\rm g}=3\times10^{-5}$ Па·с, плотность нефти $\rho_{\rm o}=0.882$ $\frac{\rm g}{\rm cm^3}$, плотность воды $\rho_{\rm w}=1$ $\frac{\rm g}{\rm cm^3}$. Для вычисления относительных фазовых проницаемостей использовалась модель Стоуна [14]

$$f_{o}(S_{w}, S_{o}) = \overline{S}_{o} f_{w}(S_{w}) \frac{f_{g}(S_{o})}{1 - \overline{S}_{w}} (\overline{S}_{w} + \overline{S}_{o}), \quad f_{w}(S_{w}) = (1 - \overline{S}_{w})^{1/2} (1 - \overline{S}_{w}^{n/(n-1)})^{2(n-1)/n},$$

$$f_{o}(S_{o}) = \overline{S}_{w}^{1/2} (1 - (1 - \overline{S}_{o}^{n/(n-1)})^{(n-1)/n})^{2},$$

где
$$\overline{S}_{\alpha} = \frac{S_{\alpha} - S_{\alpha r}}{1 - \sum_{s} S_{\beta r}}$$
 — эффективная насыщенность, $S_{\alpha r}$ — остаточная насыщенность, $\alpha = (o, w, g)$.

Обычно значения параметра n лежат в пределах 2-5, в решаемых примерах значение n бралось равным 3. Каждая скважина моделировалась цилиндром с радиусом окружности r=0.1 м. Линейный размер ячеек, примыкающих к скважинам, брался порядка 0.1 м. Итерационный параметр α брался равным 0.5. Время решения практически не меняется при $\alpha=0.3\div0.6$.

Системы уравнений для давления решались методом сопряженных градиентов с предобусловливающей матрицей, для построения которой использовалось неполное разложение Холесского [15, 16]. Системы уравнений для насыщенности решались методом Зейделя [17]. Системы уравнений решались до балансовой погрешности $\varepsilon = 10^{-4}$. Скважины отключались при достижении 98% обводненности продукции.

Задача без разделения области решалась с использованием явных и неявных схем для насыщенности. При решении по явной схеме шаг по времени определялся размером ячеек, примыкающих к интервалам вскрытия скважины, и брался равным $\Delta t=8$ сек. При решении по неявной схеме шаг по времени брался равным $\Delta t=1$ сут. В табл. 1 приведено время решения задачи без разделения области с определением насыщенности по неявной схеме.

 $\label{eq:2.2} \mbox{Таблица 1}$ Решение задачи без разделения области

| Число сгущающихся участков сетки | Число узлов | Время решения с определением насыщенности по неявной схеме |
|-------------------------------------|----------------|--|
| 1 | 11 744 | 7 мин 14 сек |
| 50 | 365 524 | 301 мин 20 сек |
| 100 | 726 721 | 722 мин 1 сек |

Системы уравнений на грубой сетке решались на одном процессоре. Системы же уравнений на сгущающихся участках сетки решались независимо, параллельно на нескольких процессорах. Для каждого j-го процессора выделялось равное (с точностью до единицы) число систем уравнений сгущающихся участков Q_j . Множества Q_j определялись в начале решения и не менялись в процессе решения. В табл. 2-4 приведено время решения задачи с разделением области по давлению и насыщенности.

Для оценки времени решения задачи трехфазной фильтрации с разделением области введем следующие обозначения. При решении задачи по определению насыщенности на n-ом временном шаге обозначим t_{ks}^n — время решения системы уравнений k-го сгущающегося участка, $t_{\max,s}^n = \max_k t_{ks}^n$ — минимальное время, необходимое для решения системы уравнений любого сгущающегося участка, t_{gs}^n — время решения системы уравнений грубой сетки.

При решении задачи по определению давления на i-й внутренней итерации на n-ом временном шаге введены обозначения: t^{in}_{kp} — время решения системы уравнений k-го сгущающегося участка, $t^{in}_{\max,p}=\max_k t^{in}_{kp}$ — минимальное время, необходимое для решения системы уравнений любого сгущающегося участка, t^{in}_{gp} — время решения системы уравнений грубой сетки. С учетом введенных обозначений время решения задачи с K сгущающимися участками при различном числе процессоров N можно оценить по

 $\label{eq:2.2} \mbox{ Таблица 2 }$ Решение задачи с разделением области по давлению

| Число сгущающихся участков сетки | Число узлов | Число процессоров | Время решения |
|-------------------------------------|----------------|----------------------|------------------|
| 1 | 11 744 | 1 | 7 мин 15 сек |
| 50 | 365 524 | 1 | 291 мин 4 сек |
| | | 5 | 270 мин 14 сек |
| | | 8 | 263 мин 12 сек |
| 100 | 726 721 | 1 | 681 мин 40 сек |
| | | 5 | 654 мин 8 сек |
| | | 8 | 649 мин 14 сек |

Таблица 3 Решение задачи с разделением области по насыщенности

| Число сгущающихся участков сетки | Число узлов | Число процессоров | Время решения |
|-------------------------------------|----------------|----------------------|------------------|
| 1 | 11 744 | 1 | 6 мин 11 сек |
| 50 | 365 524 | 1 | 255 мин 33 сек |
| | | 5 | 161 мин 4 сек |
| | | 8 | 143 мин |
| 100 | 726 721 | 1 | 633 мин 2 сек |
| | | 5 | 440 мин 12 сек |
| | | 8 | 391 мин 36 сек |

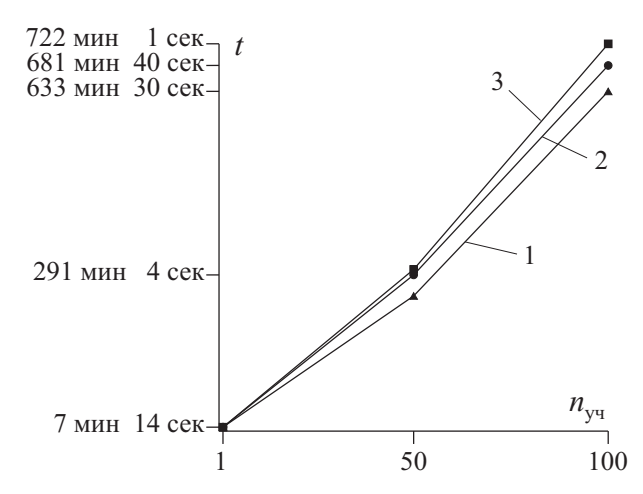
 $\label{eq:2.2} \mbox{Таблица 4}$ Решение задачи с разделением области по давлению и насыщенности

| Число сгущающихся участков сетки | Число узлов | Число процессоров | Время решения |
|-------------------------------------|----------------|----------------------|------------------|
| 1 | 11 744 | 1 | 6 мин 11 сек |
| 50 | 365 524 | 1 | 247 мин 21 сек |
| | | 5 | 141 мин |
| | | 8 | 118 мин 28 сек |
| 100 | 726 721 | 1 | 622 мин 5 сек |
| | | 5 | 399 мин |
| | | 8 | 332 мин |

формулам

$$\begin{split} T_1 &= \sum_n \left[\sum_i t_{gp}^{in} + t_{gs}^n + \sum_i \sum_k t_{kp}^{in} + \sum_k t_{ks}^n \right] \quad \text{при} \quad N = 1, \\ T_{N < K} &= \sum_n \left[\sum_i t_{gp}^{in} + t_{gs}^n + \sum_i \max_j \sum_{k \in Q_j} t_{kp}^{in} + \max_j \sum_{k \in Q_j} t_{ks}^n \right] + t_N \quad \text{при} \quad N < K, \\ T_{N = K} &= \sum_n \left[\sum_i t_{gp}^{in} + t_{gs}^n + \sum_i t_{\max,p}^{in} + t_{\max,s}^n \right] + t_N \quad \text{при} \quad N = K, \end{split}$$

где t_N — время передачи данных между N процессорами (N>1).



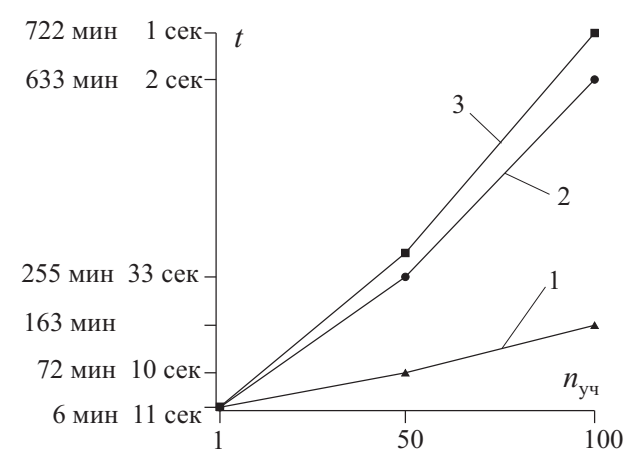


Рис. 1. Расчетное время решения задачи с разделением области по давлению

Рис. 2. Расчетное время решения задачи с разделением области по насыщенности

По этим формулам и результатам решения задач, приведенных в табл. 2-4, можно определить примерное расчетное время решения задач с различным числом сгущающихся участков и процессоров. На рис. 1-3 приведено расчетное время решения задачи с числом процессоров, равным числу сгущающихся участков (ломаная 1 характеризует решение задачи с числом процессоров, равным числу сгущающихся участков, ломаная 2 — решение задачи на одном процессоре, ломаная 3 — решение задачи без разделения области, $n_{\rm uch}$ — число сгущающихся участков сетки, t — время решения).

Из приведенных временных характеристик решения следует, что с увеличением числа процессоров общее время решения задачи уменьшается, хотя эффективность использования процессоров падает. Время

$$T_{\text{por}} = \sum_{n} \left[\sum_{i} t_{gp}^{in} + t_{gs}^{n} + \sum_{i} t_{\text{max},p}^{in} + t_{\text{max},s}^{n} \right]$$

является пороговым для данного алгоритма. Общее время решения с увеличением числа процессоров уменьшается за счет уменьшения времени решения систем уравнений для сгущающихся участков от величины $\sum_i \sum_k t_{kp}^{in} + \sum_k t_{ks}^n$ до величины $\sum_i t_{\max,p}^{in} + t_{\max,s}^n$. Эффективность использования процессоров падает вследствие следующих причин:

- системы уравнений на грубой сетке решаются на одном процессоре, в то время как остальные процессоры простаивают;
- неравномерное распределение сгущающихся участков по процессорам и различное время решения соответствующих систем уравнений приводит к простаиванию тех процессоров, на которых системы уравнений решаются быстрее.
- 5. Заключение. Разработаны новые алгоритмы для распараллеливания решения задачи трехфазной фильтрации жидкости в трехмерных пластах с большим числом скважин, требующих сгущения сетки в прискважинных зонах. Распараллеливание сеточной системы уравнений для давления основано на новом типе согласования решений для сгущающихся участков с решением на грубой сетке. Согласование достигается за счет введения дополнительных грубых сеток на сгущающихся участках. Распараллеливание сеточника.

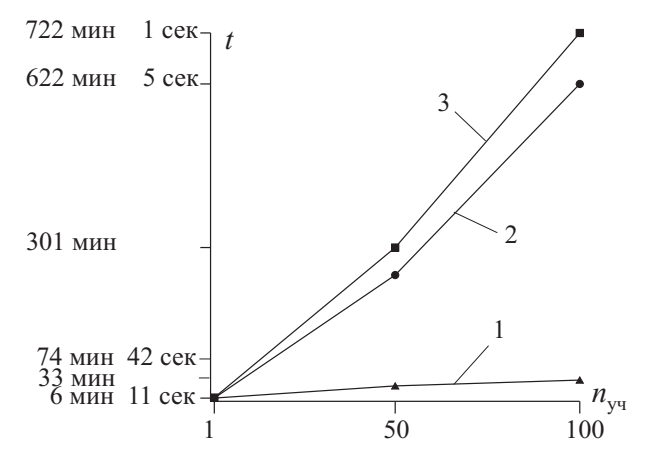


Рис. 3. Расчетное время решения задачи с разделением области по давлению и насышенности

ной системы уравнений для насыщенностей основано на независимом решении уравнений на сгущающихся участках по неявным схемам. Согласование этих решений с решением на грубой сетке достигается с использованием элементов явной и неявной схем без процедуры "предиктор-корректор".

СПИСОК ЛИТЕРАТУРЫ

- 1. *Мазуров П.А., Цепаев А.В.* Алгоритмы для распараллеливания решения задач двухфазной фильтрации жидкости на сетках со сгущающимися участками // Вычислительные методы и программирование. 2006. **7**, № 2. 115–122
- 2. Воеводин В.В., Воеводин Вл.В. Параллельные вычисления. СПб.: БХВ-Петербург, 2002.
- 3. Beckie R., Wood E.F., Aldama A.A. Mixed finite element simulation of saturated groundwater flow using a multigrid accelerated domain decomposition technique // Water Resour. Res. 1993. 26, N 9. 3145–3157.
- 4. Feng X. A non-overlapping domain decomposition method for solving elliptic problems by a finite element method // Proc. of the 9th International Symposiums on Domain Decomposition Methods for Partial Differential Equations. Ullensvang (Norway), 1996. 222–229.
- 5. Gander M.J., Golub G.H. A non-overlapping optimized Schwarz method which converges with arbitrarily weak dependence on h // Proc. of the 14th International Symposiums on Domain Decomposition Methods for Partial Differential Equations. Cocoyoc (Mexico), 2002. 281–288.
- 6. Марчук Г.Е. Методы вычислительной математики. М.: Наука, 1989.
- 7. Gai Z., Parashkevov R.R., Russel T.F., Ye X. Overlapping domain decomposition for a mixed finite element method in three dimensions // Proc. of the 9th International Symposiums on Domain Decomposition Methods for Partial Differential Equations. Ullensvang (Norway), 1996. 188–196.
- 8. Gastaldi F., Gastaldi L., Quarteroni A. ADN and ARN domain decomposition methods for solving advection—diffusion equations // Proc. of the 9th International Symposiums on Domain Decomposition Methods for Partial Differential Equations. Ullensvang (Norway), 1996. 334–341.
- 9. *Мазуров П.А.*, *Цепаев А.В.* К решению задач фильтрации несжимаемой жидкости в трехмерных пластах с гидродинамически несовершенными скважинами // Матем. моделирование. 2002. **14**, № 9. 121–123.
- 10. *Мазуров П.А.*, *Цепаев А.В.* Метод суперпозиции для решения задач фильтрации жидкости в трехмерных пластах с гидродинамически несовершенными скважинами // Современные проблемы гидрогеологии и гидрогеомеханики. СПб.: Изд-во СПбГУ, 2002. 471–476.
- 11. *Мазуров П.А.*, *Цепаев А.В.* Метод решения нелинейных задач фильтрации жидкости в трехмерных пластах с гидродинамически несовершенными скважинами // Матем. моделирование. 2004. **16**, № 3. 33–42.
- 12. $\it Masypos~\Pi.A.$, $\it Цепаев~A.B.$ Решение трехмерных задач фильтрации жидкости на MBC-1000/16 на сетках со сгущающимися участками // Актуальные проблемы механики сплошной среды. Казань: ИММ КазНЦ РАН, 2004. 45–56.
- 13. *Губайдуллин Д.А.*, *Мазуров П.А.*, *Цепаев А.В.* Алгоритм решения трехмерных задач напорно-безнапорной стационарной фильтрации жидкости со сгущающимися участками сетки // Вычислительные методы и программирование. 2005. **6**, № 2. 94–102.
- 14. Bastian P. Numerical Computation of Multiphase Flows in Porous Media. Habilitation Thesis, University of Kiel. Kiel. 1999.
- 15. $Hill\ M.C.$ Solving groundwater flow problems by conjugate-gradient methods and the strongly implicit procedure // Water Resour. Res. 1990. **26**, N 9. 1961–1969.
- 16. Larabi A., DeSmedt F. Solving three-dimensional hexahedral finite element groundwater models by preconditioned conjugate gradient methods // Water Resour. Res. 1994. **30**, N 2. 509–521.
- 17. Бахвалов Н.С. Численные методы. М.: Наука, 1975.

| Поступила в | редакцию |
|-------------|----------|
| 13.10.2007 | |